

Evaluation of the Current Situation of Road Embankments Carried out on the Latakia-Aryha Road Site

Raneem Younes ^{*} 
Dr. Rami Hanna ^{**}

(Received 14 / 6 / 2025. Accepted 9 / 10 / 2025)

ABSTRACT

Road fills are an important element in the road and transportation system and may not receive enough attention in design and implementation alike, but if we review the foundations of fill design, we find that they are traditional and depend on the relationships of construction mechanics. However, in recent years, the design has begun to rely on engineering programs based on mathematical methods such as differential equations, finite differences, and finite elements (adopted in our research), which have provided more accurate solutions in the design of fills and predicting their behavior in the long term under the influence of dynamic loads and dead loads alike. The aim of this study is to evaluate the current status of three road backfills implemented on the Latakia-Aryha highway, taking into account the properties of the materials involved in the formation (natural soil layers and backfill materials), in addition to the backfill engineering and groundwater conditions, and thus activating the joint work of all structural elements using the Finite Element Method (FEM) using the Plaxis 2D program. The backfills achieved acceptable safety factors, which were met by the most dangerous sliding surfaces, respectively: the first backfill with a minimum safety factor of 1.4909, the second backfill with a minimum safety factor of 1.5712, and the third backfill with a minimum safety factor of 1.9181.

Keywords: Backfill - Slope stability - Finite element method - Plaxis program.

Copyright  :Latakia University journal (Formerly Tishreen) -Syria, The authors retain the copyright under a CC BY-NC-SA 04

* Postgraduate Student (Master) - Engineering Department of Transportation - Faculty of Civil Engineering - Latakia University (Formerly Tishreen) - Latakia - Syria. Raneemy458@gmail.com

** Associate Professor – Department of Transportation Engineering – Faculty of Civil Engineering - Latakia University (Formerly Tishreen) - Latakia -Syria.

تقييم الوضع الراهن للرميميات الطرقية المنفذة بموقع طريق اللاذقية-أريحا

رنيم يونس *

الدكتور رامي حنا *

(تاریخ الإیادع 14 / 6 / 2025. قُبِل للنشر في 9 / 10 / 2025)

□ ملخص □

تعتبر الردميميات الطرقية عنصر هام في منظومة عمل الطرق والمواصلات وقد لا تحصل على الاهتمام الكافي عند التصميم والتنفيذ على السواء، لكن اذا ما استعرضنا اسس تصميم الردميميات لوجدنا انها تقليدية وتعتمد على علاقات ميكانيك الانشاءات . الا انه في الاوام الاخيرة بدا الاعتماد بالتصميم على البرامج الهندسية المستندة الى طرق رياضية كالمعادلات التفاضلية والفروق المحددة والعناصر المحددة (المعتمدة في بحثنا) التي اعطت حلولا اكثر دقة في تصميم الردميميات والتبيؤ بسلوكها على المدى الطويل تحت تأثير الحمولات الديناميكية والحمولات المئية على السواء. إن الهدف من هذه الدراسة هو تقييم الوضع الراهن لثلاث ردميميات طرقية منفذة على طريق اللاذقية-أريحا السريع مع الأخذ بعين الاعتبار خصائص المواد الداخلة في تكوينها(طبقات الأرض الطبيعية ومواد الردميمية) بالإضافة الى هندسة الردميمية وظروف المياه الجوفية وبالتالي تفعيل العمل المشترك لكافة العناصر الإنسانية وذلك باستخدام طريقة العناصر المحددة FEM (Finite Element Method) باستخدام برنامج ال Plaxis 2D . فقد حققت الردميميات المدروسة عوامل أمان مقبولة والتي قابلها أخطر سطح انزلاق على التوالي: الردميمية الأولى بعامل امان اصغرى 1.4909 ، الردميمية الثانية بعامل امان اصغرى 1.5712 والردميمية الثالثة بعامل امان اصغرى 1.9181 .

الكلمات المفتاحية: ردميمية-استقرار منحدر - طريقة العنصر المحدد - برنامج Plaxis .



حقوق النشر : مجلة جامعة اللاذقية (تشرين سابقاً) - سوريا، يحتفظ المؤلفون بحقوق النشر بموجب

الترخيص CC BY-NC-SA 04

* طالبة دراسات عليا (ماجستير) - قسم هندسة المواصلات و النقل - كلية الهندسة المدنية-جامعة اللاذقية (تشرين سابقاً) - اللاذقية -

سورية . Raneemy458@gmail.com

* أستاذ مساعد - قسم هندسة المواصلات و النقل - كلية الهندسة المدنية-جامعة اللاذقية (تشرين سابقاً) - اللاذقية - سوريا.

مقدمة:

غالباً ما تحتاج الطرق السريعة أن تقع مقاطعها إما في الحفر أو في الردم وذلك للتغلب على اشتراطات الميل القصوى، والرميميات تحديداً تحتاج لكميات لا بأس بها من مواد الإنشاء وهنا تكمن الأهمية الكبرى لإنشاء رميميات متوازنة بأقل تكاليف إنشائية.

من المفترض أن تؤمن الرميميات استقرار هيكل الطريق والمنشآت التابعة له بشكل جيد خلال العمل التصميمي ، هذا يستدعي أن تصمم الرميميات بالتوافق مع البيئة المحيطة بها ومع الغاية الهندسية الأساسية لتأمين التواصل المستمر مع أجزاء الطريق المختلفة في الردم والنقطاط الصفرية والحفر. [2,4,5]

تحدث مشاكل الرميميات الطرقية إما تقنياً (بسبب عيوب في التصميم أو البناء أو المواد أو تقادم الهيكل)، أو طبيعياً (بعد الزلزال، فيضانات إستثنائية أو عاصفة أو غمر بحري أو انهيارات أرضية)، أو بشرياً (بسبب عدم كفاية التدابير الأولية للدراسات ومراقبة التنفيذ، وعن طريق الخطأ في الاستخدام والتحكم والصيانة). [12,6]

في سبعينيات القرن الماضى بدأت تظهر طرائق لتحليل سلوك الرميميات بكلفة عناصرها تعتمد على تحليل الإجهادات في كافة العناصر الإنشائية دراسة تأثيرها المتبادل، ومن هذه الطرائق طريقة المعادلات التفاضلية والفرق المحددة وأخيراً طريقة العناصر المحددة.

هذا البحث يتطرق إلى طريقة العناصر المحددة في تحليل الرميميات التربوية كآلية حساب لتدقيق بعض الرميميات التربوية التي تعرضت لمشاكل تنفيذية وتقنية على طريق اللاذقية أريحا السريع باستخدام برنامج 2D Plaxis، علماً أن هناك برامج عديدة تعتمد نفس أسلوب الحساب مثل (..ANASYIS, GIO-STUDIO...) إلا أننا اختارنا برنامج PLAXIS 2D لديناميكته العالية في نمذجة الرميميات.

أهمية البحث وأهدافه:**إشكالية البحث:**

قصور الطريقة التقليدية في تصميم الرميميات على تأمين استقرارها وتوانتها والتنبؤ بسلوكها في المستقبل، وخاصة عندما يتعقد الوضع الجيولوجي الهندسي للموقع، الأمر الذي يطلب صيانتها بشكل مستمر.

أهداف البحث وأهميته:

أولاً: وضع نماذج رياضية باستخدام طريقة العناصر المحددة لمعالجة كافة المشاكل التي تتعرض لها الرميميات التربوية.

ثانياً: تفعيل العمل المشترك لكافة العناصر الإنشائية للرميمية.

ثالثاً: تحديد الأسباب الكامنة وراء فشل الرميميات انطلاقاً من عناصرها الإنشائية وصولاً إلى نوعية المواد المستخدمة في إنشائها بما يتواافق مع نوعية القوى المؤثرة عليها.

رابعاً: تقديم منهجية تقييد في وضع الحلول المثلث لرميميات التربوية مهما كانت قيمة أبعاد عناصرها الإنشائية ومهما كانت القوى المؤثرة عليها ومهما كانت ظروف تأسيسها.

الدراسات المرجعية:

-1 قام لورينس وأخرون عام 1989 بإجراء دراسة بعنوان: تحليل انهيار رميمية عالية على أساس ضعيف وتأهيلها باستخدام طريقة العناصر المحددة.

وقد الباحثون إلى أن التفاعل بين الطبقات (رديمية، أساس) غالباً ما يؤدي إلى حركات غير مرغوب بها وتشكيل شقوق وفشل مع الزمن، فقاموا بحساب رديمية طريق منفذة من نواتج الحمم البركانية الحمراء اللون ذات الحبيبات الدقيقة باستخدام طريقة العنصر المنتهي (Finite Element Method) FEM ، أظهرت نتائج الحساب قدرة طريقة العنصر المنتهي في تحديد الأسباب الرئيسية لعدم الاستقرار وتوجيه التصميم إلى حل ممكن اقتصادي وفعال.[1] .

2- قام كييث وباتريك عام 2011 بإجراء دراسة بعنوان: شروط النمذجة للرديميات المقواة بالجيوبونتوك باستخدام طريقة العنصر المنتهي.

تم التعامل مع نموذج رديمية وتحليله باستخدام برنامج (Plaxis)، تم تقسيم الجملة الحسابية للرديمية مجموعة عناصر عقدية ومقارنتها بالحلول التقليدية، توصل الباحثان إلى أن طريقة الحساب التقليدية تطلب قوى اجهاد أكبر من تلك التي تم الوصول إليها وفق طريقة العناصر المنتهية وذلك بنفس الارتفاع للرديمية.[9].

3- قام رابي عام 2013 بإجراء دراسة بعنوان: مقارنة بين الطرق التقليدية وطريقة العنصر المنتهي للمنحدرات المعرضة لأمطار غزيرة.

قام الباحث بإجراء مقارنة بين طريقة العنصر المنتهي باستخدام برنامج Plaxis وطرق التوازن الحدي (ال التقليدية) المعروفة وهي: طريقة بيشوب المبسطة(1955)، طريقة جنبو المبسطة(1954)، طريقة فيلينوس (1927) لقدير عامل الأمان للمنحدرات تحت تأثير هطول الأمطار، توصل الباحث إلى أن النتائج التي تم الحصول عليها من طريقة العنصر المنتهي أفضل من نتائج التي تم الحصول عليها من الطريقة التقليدية يعزى ذلك إلى أن طريقة العنصر المنتهي تقوم بحساب عامل الأمان للرديمية والأساس ككل كنموذج واحد بينما الطريقة التقليدية لا تحسب عامل الأمان في الرديمية ذاتها وإنما في الأساس فقط.[10] .

طرائق البحث ومواده:

منهجية البحث ومراحله:

أ-تقديم فكره عن طريقة العناصر المحددة FEM وبرنامج البحث:

طريقة العناصر المحددة: هي طريقة عددية عامة لحل المعادلات التفاضلية الجزئية في اثنين أو ثلاثة متغيرات من الفضاء (مثل بعض مشاكل القيمة الحدية). حل مشكلة ما يقسم FEM النظام الكبير إلى أجزاء أصغر و أبسط تسمى العناصر المحددة. يتم تحقيق ذلك من خلال تعين الموضع الخاص في الأبعاد الفضائية، والذي يتم تفديه من خلال بناء شبكة الكائن: المجال العددي للحل الذي له عدد محدد من النقاط. صياغة طريقة العناصر المحددة لمشكلة القيمة الحدية تؤدي أخيراً إلى نظام المعادلات الجبرية. يتم بعد ذلك تجميع المعادلات البسيطة التي تمثل هذه العناصر المحددة في نظام أكبر من المعادلات التي تمثل المشكلة برمتها. يقوم FEM بعد ذلك بتقريب الحل عن طريق تقليل وظيفة الخطأ المرتبط عبر حساب القابل و التكامل والإختلاف. غالباً مايشار إلى دراسة أو تحليل ظاهرة ما باستخدام FEM بتحليل العناصر المحددة.[3,7,8]

PLAXIS 2D هو عنصر محدود قوي وسهل الإستخدام (FE) (Finite-element) (FE) الحزمة مخصصة للتحليل ثنائي الأبعاد للتشوه والاستقرار في الهندسة الجيوبونتوكية و ميكانيكية الصخور. يستخدم Plaxis في جميع أنحاء العالم من قبل أفضل الشركات والمؤسسات الهندسية في صناعة الهندسة المدنية والجيوبونتوكية. تتراوح التطبيقات من الحفرات، الرديميات، الأساسات إلى حفر الأنفاق، التعدين، النفط والغاز والميكانيكية الجيولوجية للخزان. تم تجهيز Plaxis

بمجموعة واسعة من الميزات المتقدمة لمنصة مجموعة متنوعة من المشاكل الجيوبتينية ، كل ذلك ضمن حزمة برمجية واحدة متكاملة ، يستخدم من قبلي: الطلاب الجيوبتكنيكين ، المهنيين والجيوبتكنيكين الاستشاريين.[11,13,14] .

بـ-النماذج الحسابية للردميات المقترن حسابها وتدقيق توازنها وفق طريقة العنصر المنتهي باستخدام برنامج **PLAXIS 2D**

1- تم انتقاء واقتراح ثلاثة نماذج حقيقية مصممة فعلياً في محافظة اللاذقية (طريق اللاذقية-أريحا السريع)، علمًاً أن البيانات الهندسية للردميات هي من المؤسسة العامة للمواصلات الطرفية فرع اللاذقية سوريا، وهي:

- النموذج الأول: يقع ضمن القطاع (100Km+140m) من استراد اللاذقية-أريحا، ارتفاعه الأقصى 15.290m، ميلو الجوانب 1/1.5، عرضها من الأعلى 27.84m وعرضها من الأسفل 63.272m.

النموذج الثاني: يقع ضمن القطاع (101Km+500m) من استراد اللاذقية-أريحا ارتفاعه الأقصى 11.1426m ، ميل الحانف 1/1.5 ، عرضها من الأعلى 27.84m وعرضها من الأسفل 75.03m .

النموذج الثالث: يقع ضمن القطاع (124Km+220m) من استرداد اللاذقية-أريحا، ارتفاعه الأقصى 84.6m، عرضها من الأعلى 809m، عرضها من الأسفل 84.6m، عرضها من الأعلى 27.84m، عرضها من الأسفل 17.84m، عرضها من الأعلى 1/2، عرضها من الأسفل 17.84m.

2-تم تجميع كافة البيانات الجيوتكنيكية والهندسية لمواد الردميات وطبقات تأسيسها وعناصرها الإنسانية وأهم هذه

عامل النفاذية في الاتجاهين الأفقي والشاقولي، E_{ref} : عامل يونغ، γ عامل بواسون، C_{ref} : التماسك، φ : زاوية الاحتكاك الداخلي، γ : عامل التوزيع.

نبين بالجداول رقم (1) و (2) و (3) خصائص المواد المشكلة للردميات واسساتها.

جدول(1) خصائص المواد للنموذج الأول.

	الرديمية	الطبقة السطحية	الطبقة العميقية
السمكية الحسابية (m)	15.290	56.272	56.272
γ_{unsat} KN/m^3	18	17.8	15
γ_{sat} KN/m^3	20	19.2	18
Kx m/day	0.01	0.009	0.008
Ky m/day	0.01	0.009	0.008
E_{ref} KN/m^2	600000	80000	70000
ν	0.32	0.35	0.3
C_{ref} KN/m^2	10	29	30
φ	36	15.5	19.4
ψ	0.7	-	-

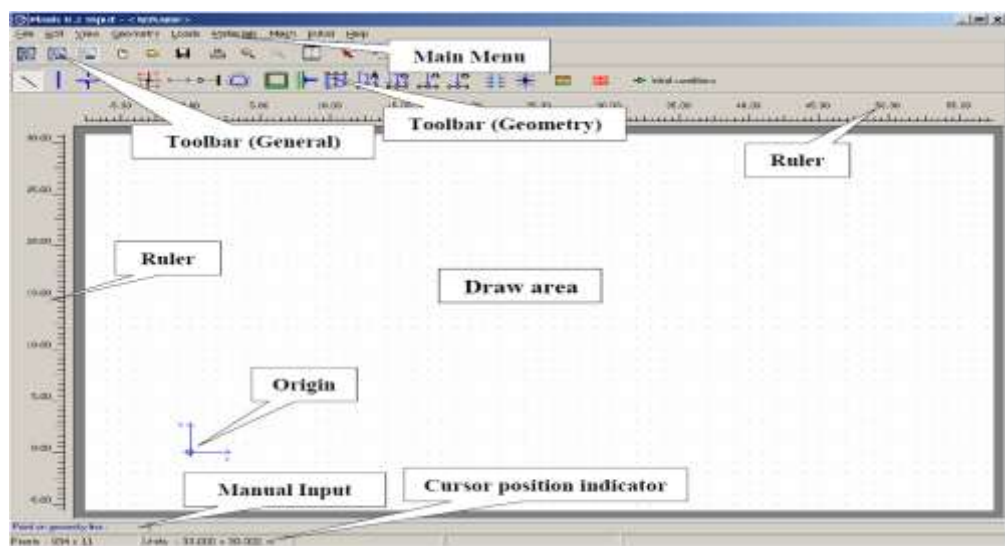
جدول (2) خصائص النموذج الثاني.

	الرديمية	الطبقية السطحية	الطبقية العميقية
السماكه الحسابية (m)	11.1426	47.454	47.454
γ_{unsat} KN/m ³	18	17.8	15
γ_{sat} KN/m ³	20	19.2	18
K_x m/day	0.001	0.009	0.008
K_y m/day	0.001	0.009	0.008
E_{ref} KN/m ²	600000	80000	70000
ν	0.32	0.35	0.3
C_{ref} KN/m ²	10	29	30
φ	36	15.5	19.4
ψ	0.7	-	-

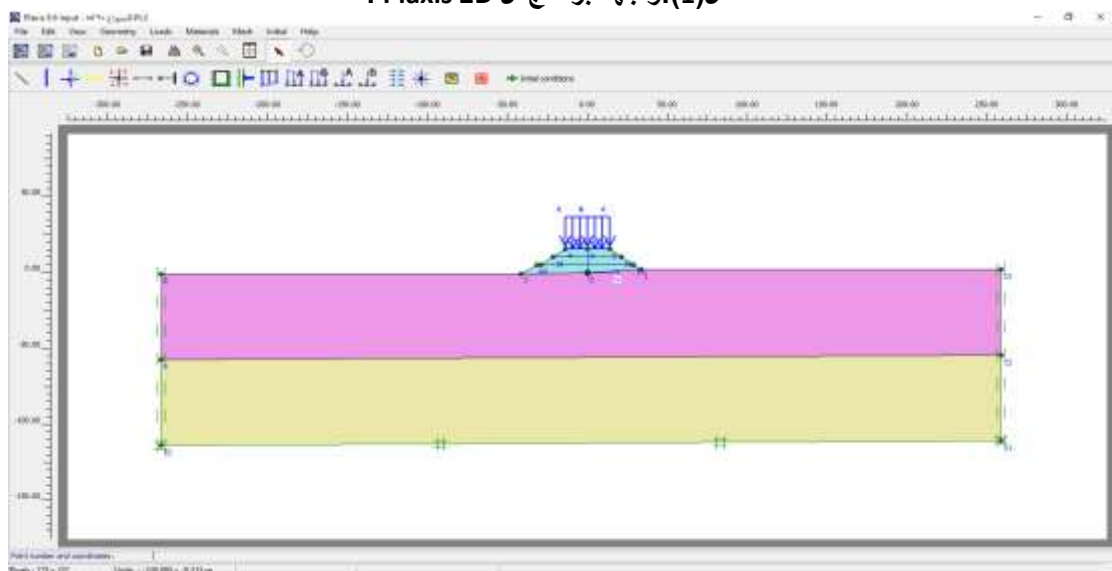
جدول (3) خصائص المواد للنموذج الثالث.

	الرديمية	الطبقية السطحية	الطبقية العميقية
السماكه الحسابية (m)	17.809	60	60
γ_{unsat} KN/m ³	18	18.1	15
γ_{sat} KN/m ³	20	19.6	18
K_x m/day	0.01	0.01	0.008
K_y m/day	0.01	0.01	0.008
E_{ref} KN/m ²	60000	93000	70000
ν	0.32	0.35	0.3
C_{ref} KN/m ²	10	26	29
φ	36	19.6	22.5
ψ	0.7	-	-

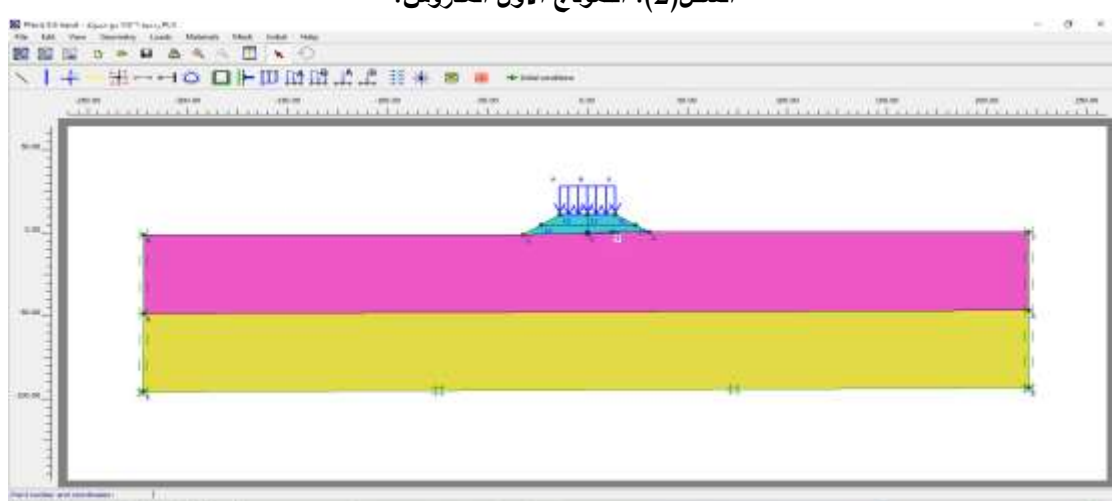
3-رسم الردميات الثلاث باستخدام برنامج ال PLAXIS بالمستويي ثنائي الأبعاد 2D .
يبين الشكل رقم (1) واجهة البرنامج كما تبين الاشكال رقم (2) و (3) و (4) تحديد الابعاد الهندسية للردميات واساساتها التي حدلت بالتجريب المتنالي حتى تلاشي الاجهادات على الحدود الطرفية، علما ان الحمولة الحسابية للشاحنات اعلى الرديمية كانت حمولة 20 KN/m



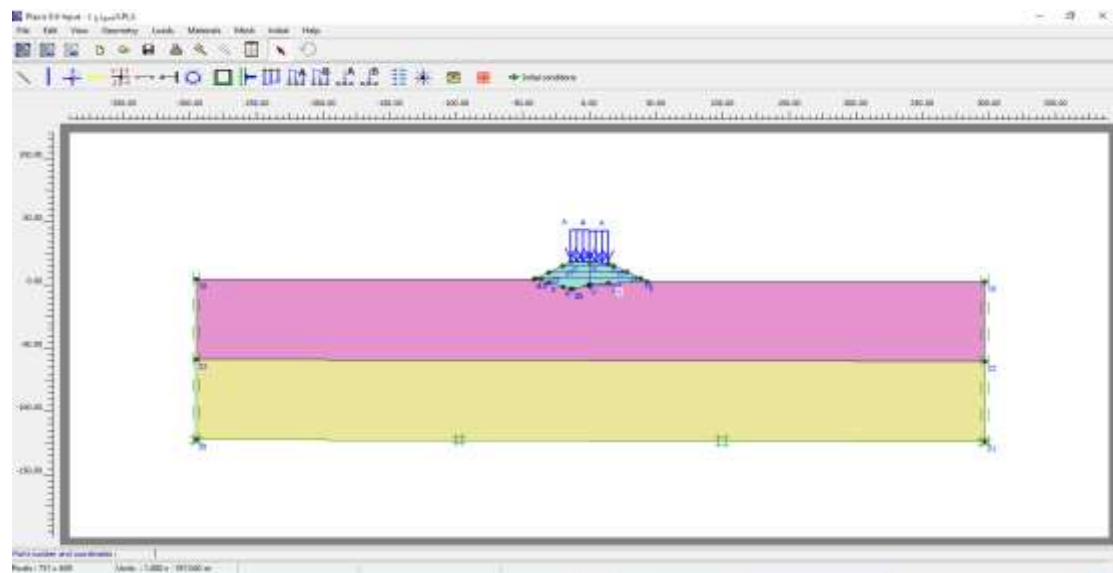
الشكل(1):واجهة برنامج الـ Plaxis 2D



الشكل(2): النموذج الأول المدروس.



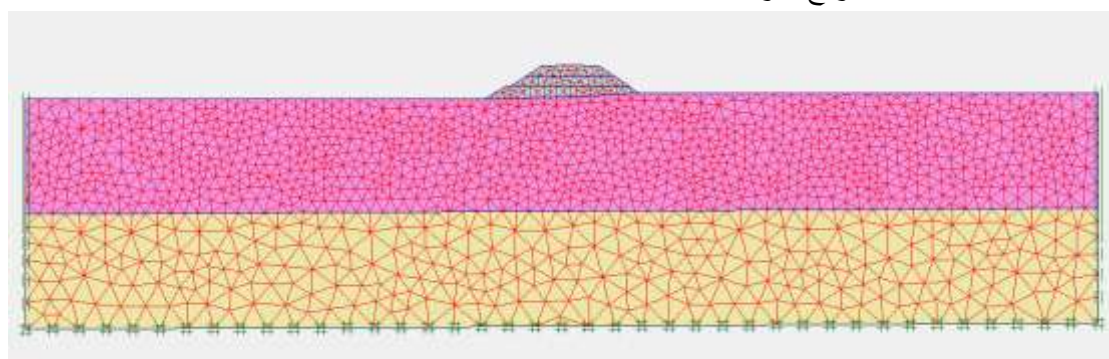
الشكل(3): النموذج الثاني المدروس.



الشكل(4) النموذج الثالث المدروس.

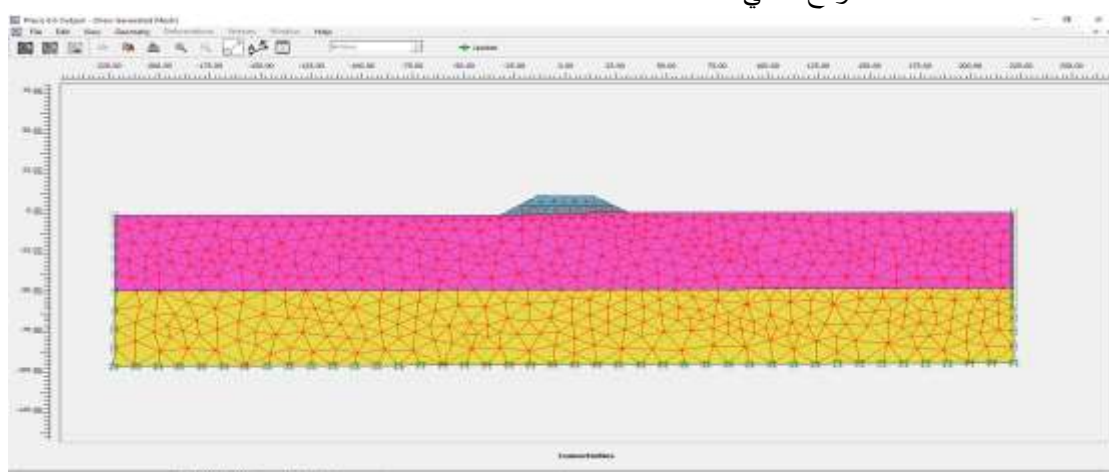
4- نمذجة و توليد شبكة العناصر المحددة للرديميات الثلاثة.

النموذج الأول:



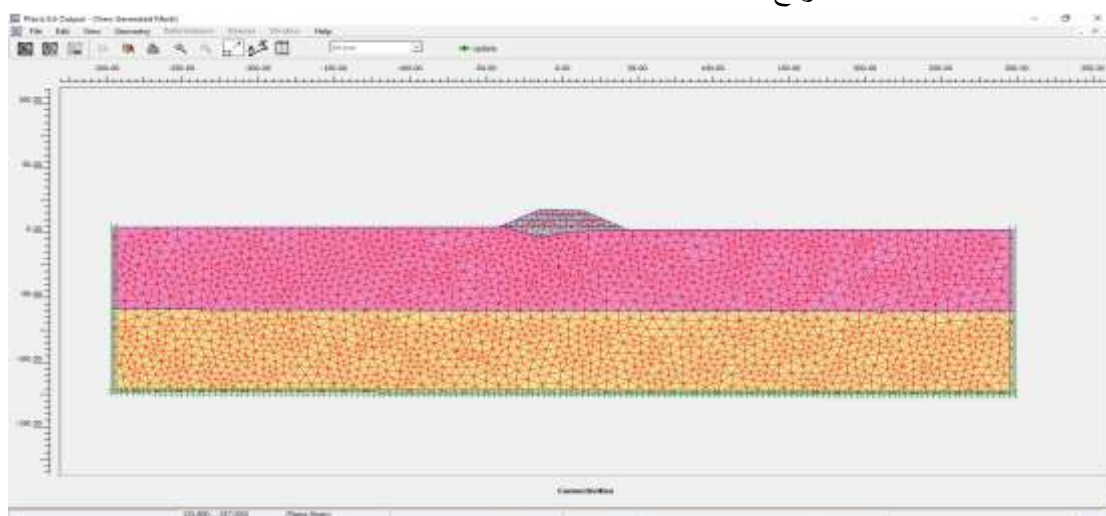
الشكل(5)شبكة العناصر المحددة للنموذج الأول

النموذج الثاني:



الشكل(6) العناصر المحددة للنموذج الثاني

النموذج الثالث:



الشكل(7) العناصر المحددة للنموذج الثالث

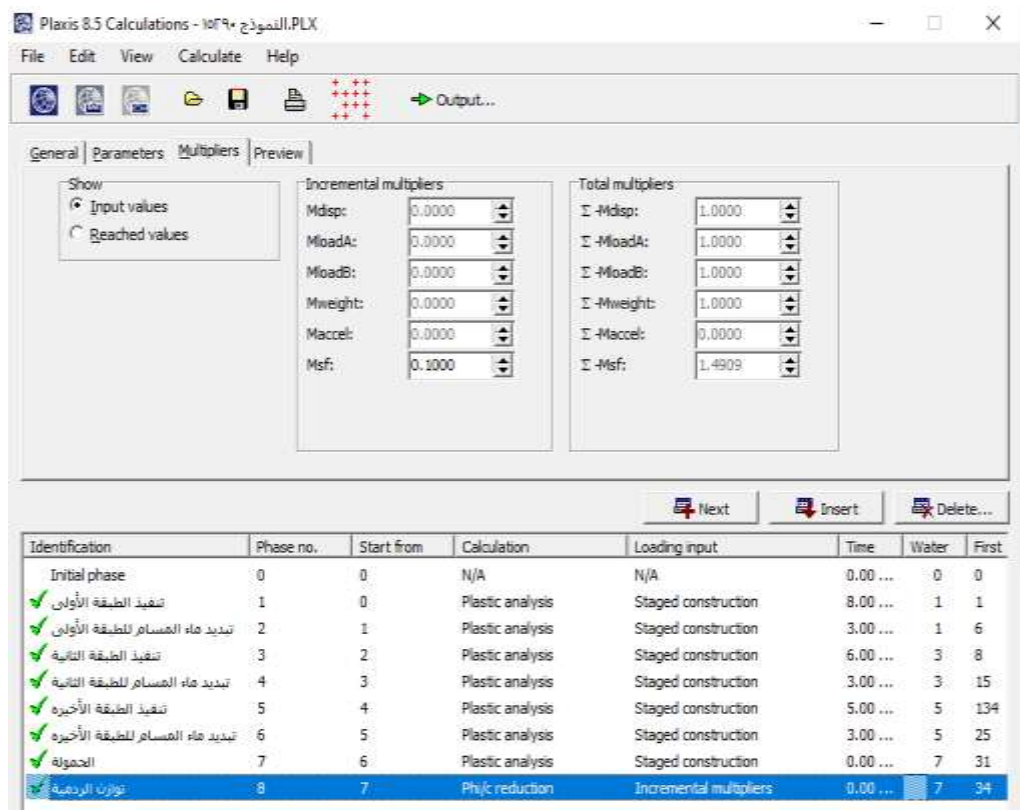
ضمن مرحلة النمذجة تم توقيع منسوب المياه الجوفية (استناداً إلى التحريات الجيولوجية الهندسية الموقعة) على عمق 5م من سطح تأسيس الردمية مع إغلاق الحد السفلي (التدفق) والجوانب(التشدید) علماً ان ضغط ماء المسام البدائي والإجهادات البدائية مبينة في الجدول رقم (4):

الجدول(4): ضغوط ماء المسام والإجهادات البدائية

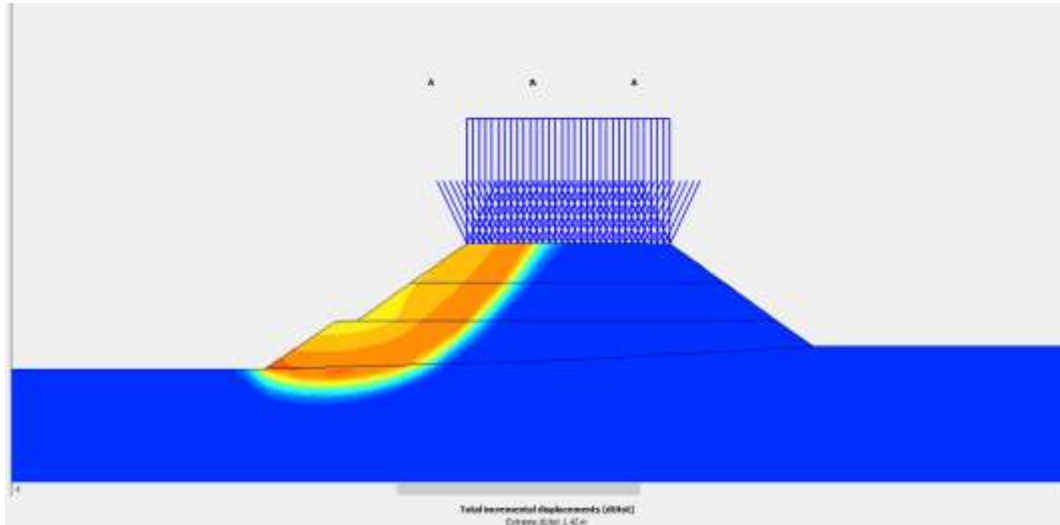
	ضغط ماء المسام البدائي m/day	الإجهادات البدائية KN/m ²
النموذج الأول	8.67×10^{-18}	-1.04×10^3
النموذج الثاني	5.41×10^{-18}	-882.52
النموذج الثالث	12.39×10^{-18}	-1.23×10^3

5-مخرجات الحساب لنماذج للردميات الثلاثة.

تم في المرحلة الأخيرة تحليل الردميات المقسمة إلى طبقات (مرحلة تنفيذ ومرحلة تبديد ماء مسام) لكل طبقة واستنتاج عامل الأمان لكل ردمية وتحديد سطح الانزلاق المتوقع الحرج المقابل له . فيما يلي نستعرض مخرجات الحساب النهائية:
أ- النموذج الأول: عامل الأمان (1.4909) حسب مواصفات AASHTO [15]، وأخطر سطح انزلاق يقع على بعد (1.42) m من أساس الردمية. كما هو موضح بالشكل رقم(8)، والشكل رقم (9).



الشكل(8) مخرجات مراحل حساب النموذج الأول.



الشكل(9): سطح الانزلاق الحرج للنموذج الأول.

ملاحظة: إن سطح الانزلاق الظاهر على الشكل(9) لا يدل على أن الرديمية غير مستقرة وإنما مؤشر على احتمالية حدوث هذا السطح عندما تحدث حمولات استثنائية أو تغيرات في الجملة الإنشائية للرديمية (تعتبر هذه الاحتمالية بعيدة طالما أن عامل الأمان وسلوك الرديمية ضمن القيم المسموحة).

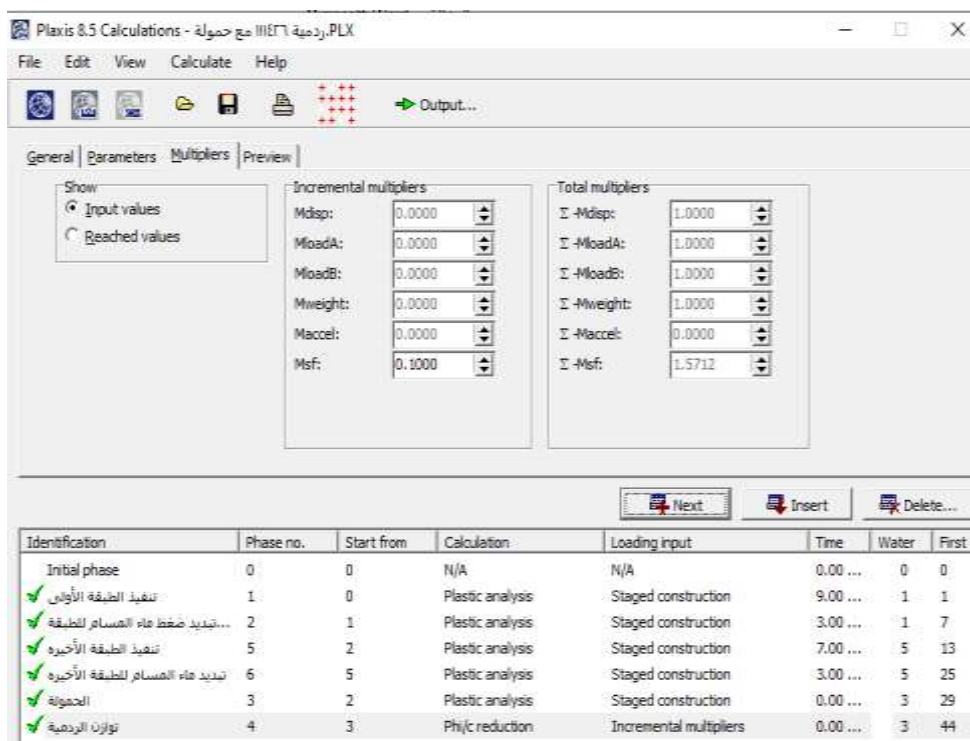
الجدول (5): قيم الإجهادات المؤثرة للنموذج الأول.

قيمة الإجهاد KN/m ²	الإجهاد
-76.42	اجهاد القص XY
-1.1*10 ³	الإجهادات الشاقولية الفعالة yy
-723.74	الإجهادات الأفقية الفعالة xx
-1.1*10 ³	الإجهادات الفعالة

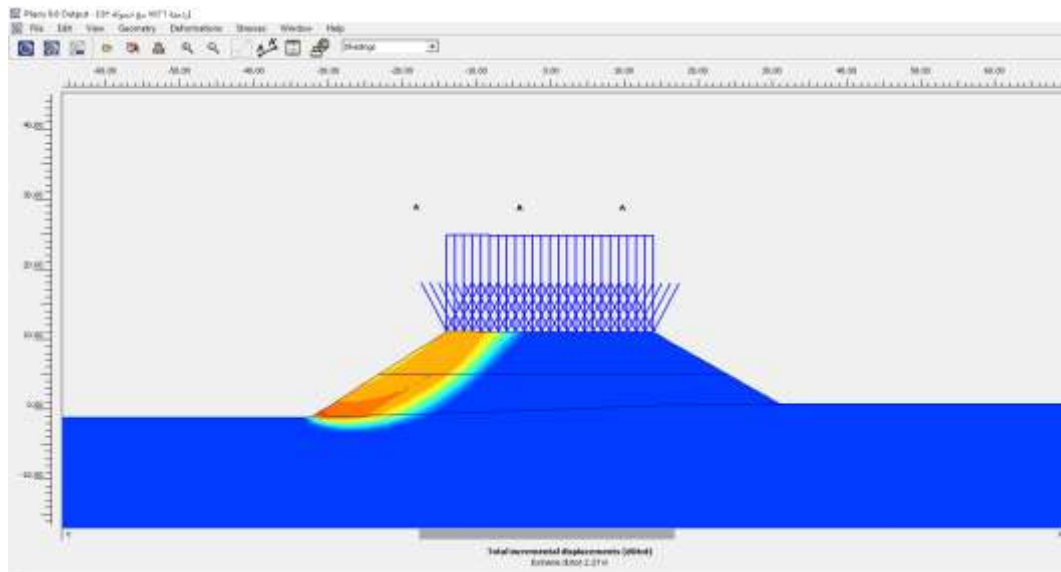
الجدول (6): سطوح الانزلاق الحرجة المتوقع حدوثها للنموذج الأول.

عمق أخطر نقطة عن أساس الردمية(m)	سطوح الانزلاق الحرجة
-1.31	سطح الانزلاق الحرط للانتقالات الأفقية
-1	سطح الانزلاق الحرط للانتقالات الشاقولية
1.42	سطح الانزلاق الحرط للانتقالات الكلية

ب- النموذج الثاني: عامل الأمان(1.5712) [15]، وأخطر سطح انزلاق يقع على بعد (2.27) m من أساس الردمية. كما هو موضح بالشكل رقم(10)، والشكل رقم (11).



الشكل(10) مراحل حساب النموذج الثاني.



الشكل(11) سطح الانزلاق الحرج للنموذج الثاني.

❖ ملاحظة: إن سطح الانزلاق الظاهر على الشكل(11) لا يدل على أن الرديمية غير مستقرة و إنما مؤشر على احتمالية حدوث هذا السطح عندما تحدث حمولات استثنائية أو تغيرات في الجملة الإنسانية للرديمية (تعتبر هذه الاحتمالية بعيدة طالما أن عامل الأمان وسلوك الرديمية ضمن القيم المسموحة).

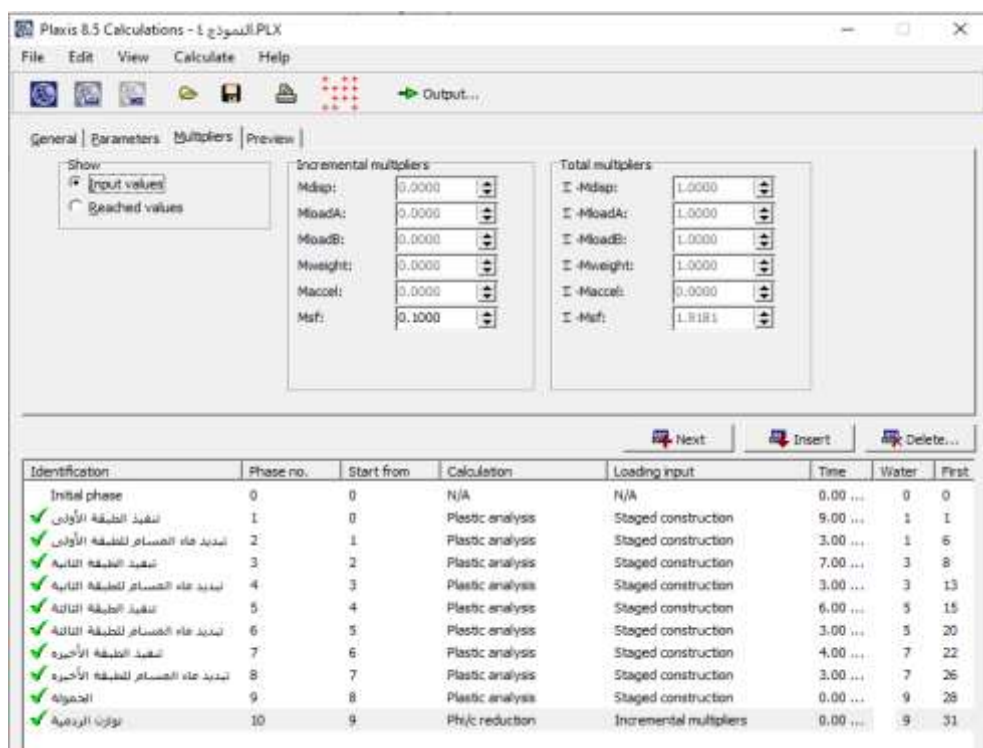
الجدول(7): قيم الإجهادات المؤثرة على النموذج الثاني.

قيمة الإجهاد KN/m ²	الإجهاد
-68.26	إجهاد القص XY
-930.24	إجهادات الشاقولية الفعالة yy
-590.97	إجهادات الأفقية الفعالة xx
-935	إجهادات الفعالة

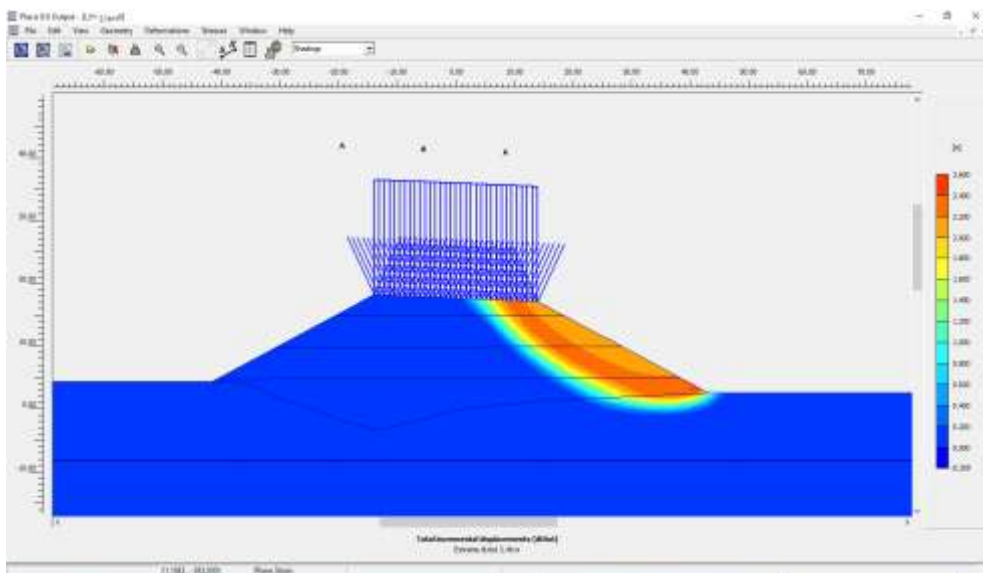
الجدول (8): سطوح الانزلاق الحرجية المتوقعة حدوثها للنموذج الثاني.

عمق أخطر نقطة عن أساس الرديمية (m)	سطوح الانزلاق الحرجية
-2.17	سطح الانزلاق الخطر للانتقالات الأفقية
-1.52	سطح الانزلاق الخطر للانتقالات الشاقولية
2.27	سطح الانزلاق الخطر للانتقالات الكلية

ت-النموذج الثالث: عامل الأمان (1.9181) حسب مواصفات AASHTO [15]، وأخطر سطح انزلاق يقع على بعد (2.46) m من أساس الرديمية. كما هو موضح بالشكل رقم(12)، والشكل رقم (13).



الشكل(12) مخرجات مراحل حساب النموذج الثالث.



الشكل(13) سطح الانزلاق الخطر للنموذج الثالث.

❖ ملاحظة: إن سطح الانزلاق الظاهر على الشكل(13) لا يدل على أن الردمية غير مستقرة وإنما مؤشر على احتمالية حدوث هذا السطح عندما تحدث حمولات استثنائية أو تغيرات في الجملة الإنشائية للردمية وهذا يجب أن ننوه أن التنبؤ بشدة الانزلاق وخروجه عن القيم المسموحة يتطلب محاولات عديدة منها تغيير خواص مواد الردمية وارتفاع

منسوب المياه الجوفية إلى حدود تغطي منطقة الأساس بشكل كامل أو حدوث غمر جزئي لجوانب الردمية (تعتبر هذه الاحتمالية بعيدة طالما أن عامل الأمان وسلوك الردمية ضمن القيم المسموحة).

الجدول (9): قيم الإجهادات المؤثرة.

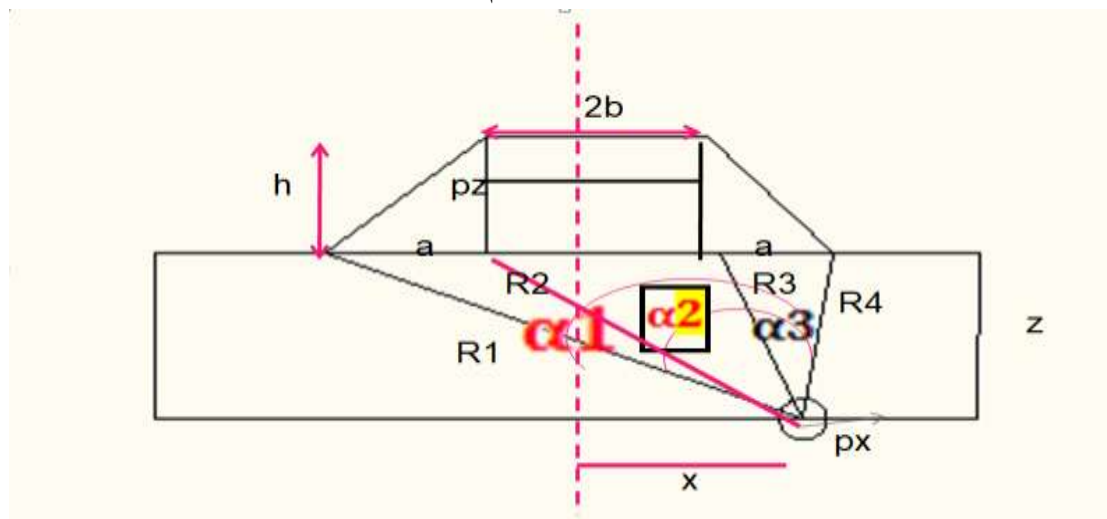
قيمة الإجهاد KN/m ²	الإجهاد
80.37	إجهاد القص XY
-1.28*10 ³	الإجهادات الشاقولية الفعالة yy
-908	الإجهادات الفقيرية الفعالة xx
-1.29*10 ³	الإجهادات الفعالة

الجدول (10): سطوح الانزلاق الحرجية المتوقعة حدوثها للنموذج الثالث.

عمق أخطر نقطة عن أساس الردمية (m)	سطوح الانزلاق الحرجية
2.38	سطح الانزلاق الخطير للانتقالات الأفقية
-1.62	سطح الانزلاق الخطير للانتقالات الشاقولية
2.46	سطح الانزلاق الخطير للانتقالات الكلية

ج) - الطريقة التقليدية لحساب توازن الردميات:

بعد الانتهاء من عملية النمذجة فمنا بحساب عامل الأمان باستخدام المعادلات وفق الطريقة التقليدية.



الشكل (14): نموذج الردمية ودلائل المعادلات وفق الطريقة التقليدية لحساب الردميات.

معادلات الطريقة الحسابية لحساب الإجهادات في النقطة:

$$PZ = \frac{P}{\pi a} [a(\alpha_1 + \alpha_2 + \alpha_3) + b(\alpha_1 + \alpha_3) + x(\alpha_1 - \alpha_3)]$$

$$T_{max} = \frac{PZ}{\pi a} \sqrt{\ln 2 \frac{R_1 R_4}{R_2 R_3} + (\alpha_1 - \alpha_2)^2}$$

$$P1 = \frac{P0}{\pi a} \left[a(\alpha_1 + \alpha_2 + \alpha_3) + b(\alpha_3 + \alpha_1) - y(\alpha_3 - \alpha_1) - Z \ln \frac{R1 R4}{R2 R3} \right.$$

$$\left. - Z \sqrt{\ln 2 \frac{R1 R4}{R2 R3} + (\alpha_3 - \alpha_1)^2} \right]$$

$$P2 = \frac{P0}{\pi a} \left[a(\alpha_1 + \alpha_2 + \alpha_3) + b(\alpha_3 + \alpha_1) - y(\alpha_3 - \alpha_1) - Z \ln \frac{R1 R4}{R2 R3} \right.$$

$$\left. + Z \sqrt{\ln 2 \frac{R1 R4}{R2 R3} + (\alpha_3 - \alpha_1)^2} \right]$$

يحسب عامل الأمان في أي نقطة من أساس الردمية يعطى بالعلاقة:

$$FS = \frac{\sigma n \tan \phi + c}{\tau i}$$

حيث أن:

PZ : الإجهادات الشاقولية عند النقطة الحسابية (KN. m²) -

$P0$: الضغط من حمولة الردمية (KN. m²) -

τmax : إجهاد القص الأعظمي من النقطة الحسابية KN. m² -

$P1$: الإجهاد الرئيسي KN. m² -

$P2$: الإجهاد الثانوي KN. m² -

Z : عمق النقطة الحسابية m -

$F.S$: عامل الأمان. -

σn : الإجهاد الناظمي في النقطة الحسابية KN. m² -

τi : إجهاد القص الفعلي في النقطة الحسابية KN. m² -

ϕ : زاوية الاحتكاك الداخلي. -

c : التماسك KN. m² -

نتائج حساب عامل الأمان في أساس الردمية:

النموذج الأول:

(أ)

الجدول (11): عامل الأمان في أساس الردمية للنموذج الأول وفق الطريقة التقليدية.

$F.S$	العمق
1.50938	60
1.510405	65
1.513975	70

1.519192	75
1.52542	80
1.532204	85
1.539219	90
1.546232	95
1.553077	100
1.55964	105
1.565843	110

<i>F.S</i>	العمق
16.3161	5
7.57694	10
4.95164	15
3.76521	20
3.11695	25
2.72085	30
2.46003	35
2.27852	40
2.14646	45
2.046662	50
1.9512	56

عامل الأمان الأصغر وفق الطريقة التقليدية هو 1.50938 .
ب) التموج الثاني:

الجدول (12) : عامل الأمان في أساس الردمية للنموذج الثاني وفق الطريقة التقليدية.

<i>F.S</i>	العمق
1.570981	50
1.601993	55
1.63885	60
1.679998	65
1.724355	70
1.771151	75
1.81982	80
1.869938	85
1.921184	90
1.974409	95.105

<i>F.S</i>	العمق
12.857	5
5.84422	10
3.77902	15
2.87472	20
2.40314	25
2.13373	30
1.97261	35
1.87508	40
1.81744	45
1.79704	47.84

عامل الأمان الأصغر وفق الطريقة التقليدية هو 1.570981 .
ت) التموج الثالث:

الجدول (13) : عامل الأمان في أساس الرديمية للنموذج الثالث وفق الطريقة التقليدية.

F.S	العمق
1.270433	70
1.284761	75
1.301288	80
1.319568	85
1.339258	90
1.360096	95
1.381874	100
1.404428	105
1.427626	110
1.45136	115
1.475542	120
1.495162	124

F.S	العمق
10.23328	5
4.964256	10
3.37222	15
2.651013	20
2.25898	25
2.023566	30
1.873883	35
1.775732	40
1.710681	45
1.667965	50
1.640906	55
1.625164	60
1.258902	65

عامل الأمان الأصغرى وفق الطريقة التقليدية هو 1.258902.

د) نتائج البحث:

- النموذج الأول: حققت هذه الرديمية شروط الأمان والتوازن حيث بلغت قيمة عامل الأمان الأصغرى وفق طريقة النمذجة الحاسوبية باستخدام برنامج PLAXIS 2D (1.4909) وهي بالنتيجة أكبر من القيمة الدنيا المسموح بها (1.3)، وهي تتوافق مع قيمة عامل الأمان الأصغرى وفق الطريقة التقليدية (1.50938).
- النموذج الثاني: حققت هذه الرديمية شروط الأمان والتوازن حيث بلغت قيمة عامل الأمان الأصغرى وفق طريقة النمذجة الحاسوبية باستخدام برنامج PLAXIS 2D (1.5712) وهي بالنتيجة أكبر من القيمة الدنيا المسموح بها (1.3)، وهي تتوافق مع قيمة عامل الأمان الأصغرى وفق الطريقة التقليدية (1.570981).
- النموذج الثالث: حققت هذه الرديمية شروط الأمان والتوازن حيث بلغت قيمة عامل الأمان الأصغرى وفق طريقة النمذجة الحاسوبية باستخدام برنامج PLAXIS 2D (1.9181) وهي بالنتيجة أكبر من القيمة الدنيا المسموح بها (1.3)، بينما قيمة عامل الأمان الأصغرى وفق الطريقة التقليدية (1.2589902)، إن الخلاف بين عوامل الأمان يعود إلى أن الطرائق التقليدية لا تعكس حقيقة السلوك المتبادل بين الطبقات الجيولوجية المشكلة لأساس الرديمية.

الاستنتاجات والتوصيات:

الاستنتاجات:

بمراجعة سجل الإجهادات بمخرجات الحساب للنمذج الثلاثة تبين أن كل الإجهادات والتشوهات الحاصلة في الردمية ونرية تأسيسها أقل من الإجهادات المسموحة لنرية ردمية وأسساتها والتي حدتها مخرجات الحساب وفقاً للمعطيات المتعلقة بزوايا الاحتكاك الداخلي والتماسك والكتافة الجافة والمشبعة وعوامل الصلابة وعوامل بواسون، مع ملاحظة انسانية الإجهادات وتناظرها على جانبي محور الردمية والخلاف البسيط بين قسمي الردمية هو عدم التناظر الكامل للأبعاد الهندسية للردمية لكن كل ذلك لم يؤثر على توازن الردمية وعامل أمانها.

أبدى برنامج PLAXIS 2D ديناميكية عالية في تحليل الردميات المدروسة وتحديد سلوكها في المستقبل إذ أنه يعطي مؤشرات لإمكانية حدوث عدم استقرار في أحد العناصر الإنشائية المشكلة لها.

يمكن تدعيم استخدام برنامج PLAXIS 2D بإعادة حساب ردميات باستخدام الطرائق التقليدية للتحقق من جدوى استخدامها.

التوصيات:

يجب مراقبة الردميات الطريقية مع الزمن وتحديد سلوكها قبل حدوث أي خلل من خلال الحساب الدقيق لها.

يفضل تطبيق البرنامج لحساب الردميات على السفوح الجبلية مع وجود حركة للمياه الجوفية باتجاه الأسفل.

يفضل استخدام الجوانب الأخرى من هذا البرنامج (PLAXIS 3D) للتحقق من سلوك الردميات في الفراغ وخاصة في المسارات القصيرة من استرداد اللاذقية-أريحا.

References:

- [1] P LOUR ENS (Member), H CZAPLA and A L PAR ROCK (Member). Finite element analysis of failure and structural rehabilitation of a high embankment on a soft foundation. THE CIVIL ENGINEER in South Africa -July 1989.
- [2] Ch.Kliche, Rock Slope Stability, Colorado ,USA: Society for Mining, Metallurgy and Exploration, 1999.
- [3] K.Huebner, D.Dewhirst ,D.Smith, The Finite Element Method for Engineers, Wiley, 2001.
- [4] L.Abramson, Th.Lee, S.Sharam, G.Boyce, Slope Stability and Stabilization Methods, USA: John Wiley & Sons, (2002).
- [5] E.Eberhardt, Rock Slope Stability Analysis - Utilization of Advanced Numerical Techniques, Vancouver, Canada: Earth and Ocean Sciences, University of British Columbia, (2003).
- [6] M.Walsh, Engineering and Design - Slope Stability, USA: US Army Corps of Engineers Washington, (2003).
- [7] J.N.Reddy, An Introduction to the Finite Element Method (Third ed.), McGraw-Hill, (2006).
- [8] D.L.Logan, A first course in the finite element method, Cengage Learning. ISBN, (2011). Similitude Conditions Modeling Geosynthetic
- [9] Keith Jennings1 and Patrick J. Naughton 2. Reinforced Piled Embankments Using FEM and FDM Techniques. Advances in Civil Engineering.2011
- [10] M. Rabie. Comparison study between traditional and finite element methods for slopes under heavy rainfall. HBRC Journal. 2013
- [11] Ch.Juraj, Základy matematického modelování v geotechnice s využitím programu Plaxis (in Czech). Brno: Vysoké učení technické v Brně, Fakulta stavební, (2014).
- [12] T.Ayadat, Review Article, Journal of Scientific and Research, (2019).

- [13] Bentley. PLAXIS® 2D-Trusted Geotechnical Finite Element Analysis Software. Advancing infrastructure. 2021.
- [14] M.Panchal, PLAXIS Software: The Complete Guide for Beginner - PIGSO LEARNING, (2024).
- [15] Standard Specification for Highway and Structure Construction. Road Standard. Section 207(AASHTO), Embankment. Publisher: Wisconsin Department of transportation, 2014-2021.

